

Une approche par décomposition et reparamétrisation de la résolution de contraintes géométriques.

Rémi Imbach, Pascal Mathis et Pascal Schreck

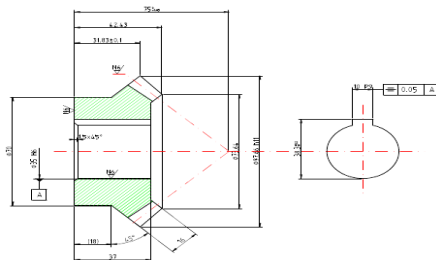
Université de Strasbourg
LSiIT, UMR ULP-CNRS 7005

22 mars 2012



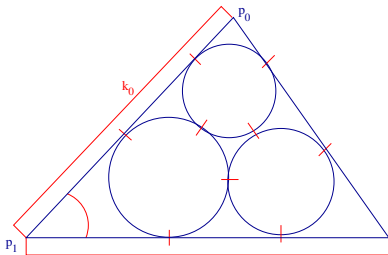
Résolution de contraintes et modélisation

- Modélisation géométrique
 - déclarative : décrire un objet par les propriétés qu'il satisfait ;
 - impérative : exhiber cet objet ou une façon de le construire.
- Résolution de Contraintes Géométriques (RCG) :
 Contraintes géométriques → objet
- Applications :
 - Chimie moléculaire
 - Robotique
 - CAO
 - ...



Systèmes de Contraintes Géométriques (SCG)

- Ensemble de primitives géométriques,
 - points, droites, cercles, ...
 - variables sortées : $p_0, p_1 : \textit{Point}$
- satisfaisant un ensemble de contraintes :
 - angles, distances, tangences, ...
 - termes : $k_0 = \textit{dist}_{pp}(p_0, p_1)$.



Inconnues :

$p_0, p_1, \dots, c_0, c_1, \dots$

Paramètres :

k_0, k_1, \dots

Contraintes :

$k_0 = \textit{dist}_{pp}(p_0, p_1)$

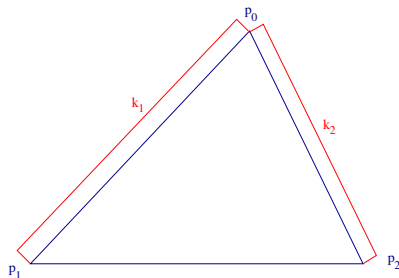
$k_1 = \textit{dist}_{pp}(p_0, p_2)$

...

$\textit{tangent}(c_0, c_1)$

...

Systèmes de Contraintes Géométriques (SCG)



- Un SCG est **bien contraint** :
s'il admet un nombre fini de solutions.
- Un SCG est **structurellement bien contraint** :
 - SCG G avec n inconnues, c contraintes
SCG $G' < G$ avec n' inconnues, c' contraintes
 - 2D : $c = 2n - 3$ et $c' \leq 2n' - 3$
 - 3D : $c = 3n - 6$ et $c' \leq 3n' - 6$

Résolution de SCG

Deux grandes familles de méthodes,

- celles utilisant un **raisonnement géométrique** :
 - Systèmes à Base de Connaissance (KBS),
 - Intersection des Lieux Géométriques (LIM),
- celles utilisant la **géométrie analytique** :

SCG \rightarrow système d'équations

- résolu symboliquement (Ritt-Wu, bases de Gröbner,...),
- ou numériquement (Bernstein, Newton-Raphson, homotopie).

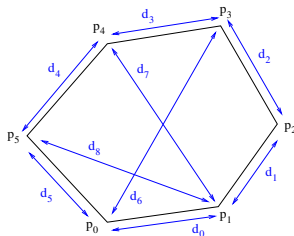
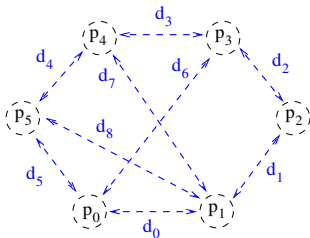
et stratégie **diviser pour régner**.

Problématique :

- palier les défauts des méthodes géométriques,
- guider une méthode numérique par la géométrie.

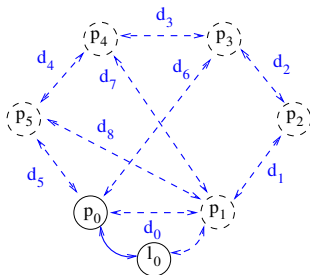
Méthode par Intersection des Lieux Géométriques (LIM)

- Obtention du plan de construction
 - Construire un hyper-graphe
 - sommets \leftrightarrow primitives géométriques
 - hyper-arêtes \leftrightarrow contraintes



Méthode par Intersection des Lieux Géométriques (LIM)

- Obtention du plan de construction
 - Construire un hyper-graphe
 - Fixer un *repère* pour localiser la construction :
 - ensemble de primitives déterminant un repère affine de l'espace
 - par exemple un point et une droite en 2D.



Parameters :

p_0, l_0

Unknowns :

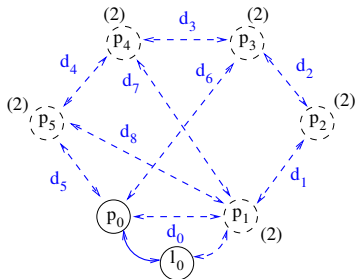
.

Terms :

.

Méthode par Intersection des Lieux Géométriques (LIM)

- Obtention du plan de construction
 - Construire un hyper-graphe
 - Fixer un *repère* pour localiser la construction :
 - Propagation avant des degrés de liberté



Parameters :

p_0, l_0

Unknowns :

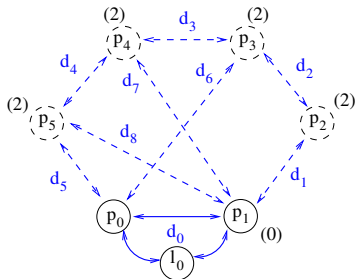
.

Terms :

.

Méthode par Intersection des Lieux Géométriques (LIM)

- Obtention du plan de construction
 - Construire un hyper-graphe
 - Fixer un *repère* pour localiser la construction :
 - Propagation avant des degrés de liberté



Parameters :

p_0, l_0, d_0

Unknowns :

c_0, p_1

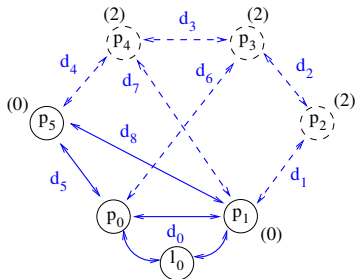
Terms :

$c_0 = \text{mkcircle}(p_0, d_0)$

$p_1 = \text{intercl}(c_0, l_0)$

Méthode par Intersection des Lieux Géométriques (LIM)

- Obtention du plan de construction
 - Construire un hyper-graphe
 - Fixer un *repère* pour localiser la construction :
 - Propagation avant des degrés de liberté



Parameters :

p_0, l_0, d_0, d_5, d_8

Unknowns :

c_0, p_1, c_5, c_8, p_5

Terms :

$c_0 = \text{mkcircle}(p_0, d_0)$

$p_1 = \text{intercl}(c_0, l_0)$

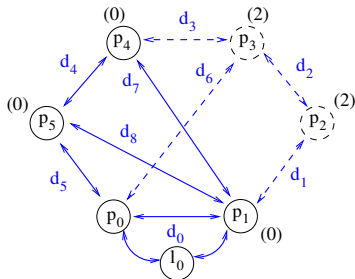
$c_5 = \text{mkcircle}(p_0, d_5)$

$c_8 = \text{mkcircle}(p_1, d_8)$

$p_5 = \text{intercc}(c_5, c_8)$

Méthode par Intersection des Lieux Géométriques (LIM)

- Obtention du plan de construction
 - Construire un hyper-graphe
 - Fixer un *repère* pour localiser la construction :
 - Propagation avant des degrés de liberté



Parameters :

$p_0, l_0, d_0, d_5, d_8, d_4, d_7$

Unknowns :

$c_0, p_1, c_5, c_8, p_5, d_4, d_7, p_4$

Terms :

$c_0 = \text{mkcircle}(p_0, d_0)$

$p_1 = \text{intercl}(c_0, l_0)$

$c_5 = \text{mkcircle}(p_0, d_5)$

$c_8 = \text{mkcircle}(p_1, d_8)$

$p_5 = \text{intercc}(c_5, c_8)$

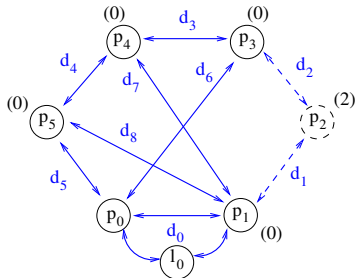
$c_4 = \text{mkcircle}(p_5, d_4)$

$c_7 = \text{mkcircle}(p_1, d_7)$

$p_4 = \text{intercc}(c_4, c_7)$

Méthode par Intersection des Lieux Géométriques (LIM)

- Obtention du plan de construction
 - Construire un hyper-graphe
 - Fixer un *repère* pour localiser la construction :
 - Propagation avant des degrés de liberté



Parameters :

$p_0, l_0, d_0, d_5, d_8, d_4, d_7, d_3, d_6$

Unknowns :

$c_0, p_1, c_5, c_8, p_5, d_4, d_7, p_4, c_3, c_6, p_3$

Terms :

$c_0 = \text{mkcircle}(p_0, d_0)$

$p_1 = \text{intercl}(c_0, l_0)$

$c_5 = \text{mkcircle}(p_0, d_5)$

$c_8 = \text{mkcircle}(p_1, d_8)$

$p_5 = \text{intercc}(c_5, c_8)$

$c_4 = \text{mkcircle}(p_5, d_4)$

$c_7 = \text{mkcircle}(p_1, d_7)$

$p_4 = \text{intercc}(c_4, c_7)$

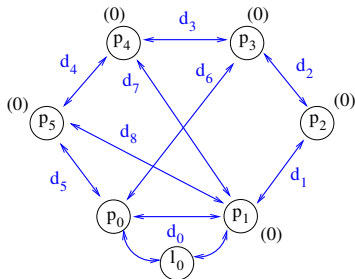
$c_3 = \text{mkcircle}(p_4, d_3)$

$c_6 = \text{mkcircle}(p_0, d_6)$

$p_3 = \text{intercc}(c_3, c_6)$

Méthode par Intersection des Lieux Géométriques (LIM)

- Obtention du plan de construction
 - Construire un hyper-graphe
 - Fixer un *repère* pour localiser la construction :
 - Propagation avant des degrés de liberté



Parameters :

$p_0, l_0, d_0, d_5, d_8, d_4, d_7, d_3, d_6, d_1, d_2$

Unknowns :

$c_0, p_1, c_5, c_8, p_5, d_4, d_7, p_4, c_3, c_6, p_3, c_1, c_2, p_2$

Terms :

$c_0 = \text{mkcircle}(p_0, d_0)$

$p_1 = \text{intercl}(c_0, l_0)$

$c_5 = \text{mkcircle}(p_0, d_5)$

$c_8 = \text{mkcircle}(p_1, d_8)$

$p_5 = \text{intercc}(c_5, c_8)$

$c_4 = \text{mkcircle}(p_5, d_4)$

$c_7 = \text{mkcircle}(p_1, d_7)$

$p_4 = \text{intercc}(c_4, c_7)$

$c_3 = \text{mkcircle}(p_4, d_3)$

$c_6 = \text{mkcircle}(p_0, d_6)$

$p_3 = \text{intercc}(c_3, c_6)$

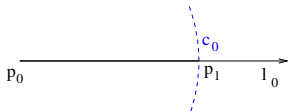
$c_2 = \text{mkcircle}(p_3, d_2)$

$c_1 = \text{mkcircle}(p_1, d_1)$

$p_2 = \text{intercc}(c_1, c_2)$

Méthode par Intersection des Lieux Géométriques (LIM)

- Obtention du plan de construction
 - Construire un hyper-graphe
 - Fixer un *repère* pour localiser la construction :
 - Propagation avant des degrés de liberté
- Évaluation du plan de construction



Parameters :

$p_0, l_0, d_0, d_5, d_8, d_4, d_7, d_3, d_6, d_1, d_2$

Unknowns :

$c_0, p_1, c_5, c_8, p_5, d_4, d_7, p_4, c_3, c_6, p_3, c_1, c_2, p_2$

Terms :

$c_0 = \text{mkcircle}(p_0, d_0)$

$p_1 = \text{intercl}(c_0, l_0)$

$c_5 = \text{mkcircle}(p_0, d_5)$

$c_8 = \text{mkcircle}(p_1, d_8)$

$p_5 = \text{intercc}(c_5, c_8)$

$c_4 = \text{mkcircle}(p_5, d_4)$

$c_7 = \text{mkcircle}(p_1, d_7)$

$p_4 = \text{intercc}(c_4, c_7)$

$c_3 = \text{mkcircle}(p_4, d_3)$

$c_6 = \text{mkcircle}(p_0, d_6)$

$p_3 = \text{intercc}(c_3, c_6)$

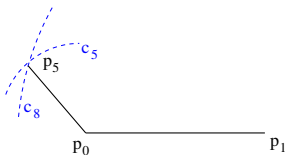
$c_2 = \text{mkcircle}(p_3, d_2)$

$c_1 = \text{mkcircle}(p_1, d_1)$

$p_2 = \text{intercc}(c_1, c_2)$

Méthode par Intersection des Lieux Géométriques (LIM)

- Obtention du plan de construction
- Évaluation du plan de construction



Parameters :

$p_0, l_0, d_0, d_5, d_8, d_4, d_7, d_3, d_6, d_1, d_2$

Unknowns :

$c_0, p_1, c_5, c_8, p_5, d_4, d_7, p_4, c_3, c_6, p_3, c_1, c_2, p_2$

Terms :

$c_0 = \text{mkcircle}(p_0, d_0)$

$p_1 = \text{intercl}(c_0, l_0)$

$c_5 = \text{mkcircle}(p_0, d_5)$

$c_8 = \text{mkcircle}(p_1, d_8)$

$p_5 = \text{intercc}(c_5, c_8)$

$c_4 = \text{mkcircle}(p_5, d_4)$

$c_7 = \text{mkcircle}(p_1, d_7)$

$p_4 = \text{intercc}(c_4, c_7)$

$c_3 = \text{mkcircle}(p_4, d_3)$

$c_6 = \text{mkcircle}(p_0, d_6)$

$p_3 = \text{intercc}(c_3, c_6)$

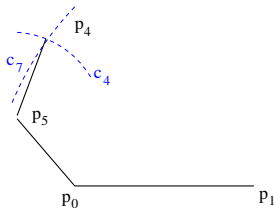
$c_2 = \text{mkcircle}(p_3, d_2)$

$c_1 = \text{mkcircle}(p_1, d_1)$

$p_2 = \text{intercc}(c_1, c_2)$

Méthode par Intersection des Lieux Géométriques (LIM)

- Obtention du plan de construction
- Évaluation du plan de construction



Parameters :

$p_0, l_0, d_0, d_5, d_8, d_4, d_7, d_3, d_6, d_1, d_2$

Unknowns :

$c_0, p_1, c_5, c_8, p_5, d_4, d_7, p_4, c_3, c_6, p_3, c_1, c_2, p_2$

Terms :

$c_0 = \text{mkcircle}(p_0, d_0)$

$p_1 = \text{intercl}(c_0, l_0)$

$c_5 = \text{mkcircle}(p_0, d_5)$

$c_8 = \text{mkcircle}(p_1, d_8)$

$p_5 = \text{intercc}(c_5, c_8)$

$c_4 = \text{mkcircle}(p_5, d_4)$

$c_7 = \text{mkcircle}(p_1, d_7)$

$p_4 = \text{intercc}(c_4, c_7)$

$c_3 = \text{mkcircle}(p_4, d_3)$

$c_6 = \text{mkcircle}(p_0, d_6)$

$p_3 = \text{intercc}(c_3, c_6)$

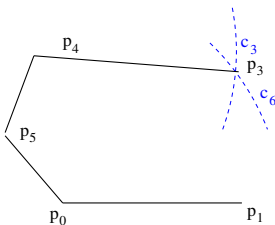
$c_2 = \text{mkcircle}(p_3, d_2)$

$c_1 = \text{mkcircle}(p_1, d_1)$

$p_2 = \text{intercc}(c_1, c_2)$

Méthode par Intersection des Lieux Géométriques (LIM)

- Obtention du plan de construction
- Évaluation du plan de construction



Parameters :

$p_0, l_0, d_0, d_5, d_8, d_4, d_7, d_3, d_6, d_1, d_2$

Unknowns :

$c_0, p_1, c_5, c_8, p_5, d_4, d_7, p_4, c_3, c_6, p_3, c_1, c_2, p_2$

Terms :

$c_0 = \text{mkcircle}(p_0, d_0)$

$p_1 = \text{intercl}(c_0, l_0)$

$c_5 = \text{mkcircle}(p_0, d_5)$

$c_8 = \text{mkcircle}(p_1, d_8)$

$p_5 = \text{intercc}(c_5, c_8)$

$c_4 = \text{mkcircle}(p_5, d_4)$

$c_7 = \text{mkcircle}(p_1, d_7)$

$p_4 = \text{intercc}(c_4, c_7)$

$c_3 = \text{mkcircle}(p_4, d_3)$

$c_6 = \text{mkcircle}(p_0, d_6)$

$p_3 = \text{intercc}(c_3, c_6)$

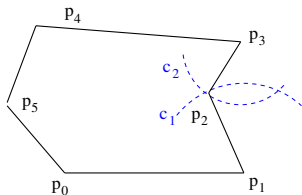
$c_2 = \text{mkcircle}(p_3, d_2)$

$c_1 = \text{mkcircle}(p_1, d_1)$

$p_2 = \text{intercc}(c_1, c_2)$

Méthode par Intersection des Lieux Géométriques (LIM)

- Obtention du plan de construction
- Évaluation du plan de construction



Parameters :

$p_0, l_0, d_0, d_5, d_8, d_4, d_7, d_3, d_6, d_1, d_2$

Unknowns :

$c_0, p_1, c_5, c_8, p_5, d_4, d_7, p_4, c_3, c_6, p_3, c_1, c_2, p_2$

Terms :

$c_0 = \text{mkcircle}(p_0, d_0)$

$p_1 = \text{intercl}(c_0, l_0)$

$c_5 = \text{mkcircle}(p_0, d_5)$

$c_8 = \text{mkcircle}(p_1, d_8)$

$p_5 = \text{intercc}(c_5, c_8)$

$c_4 = \text{mkcircle}(p_5, d_4)$

$c_7 = \text{mkcircle}(p_1, d_7)$

$p_4 = \text{intercc}(c_4, c_7)$

$c_3 = \text{mkcircle}(p_4, d_3)$

$c_6 = \text{mkcircle}(p_0, d_6)$

$p_3 = \text{intercc}(c_3, c_6)$

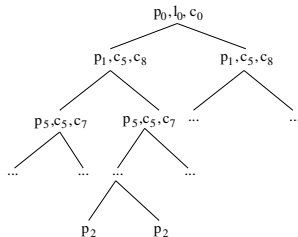
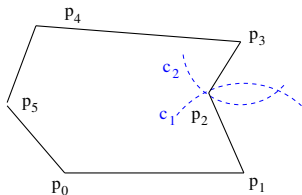
$c_2 = \text{mkcircle}(p_3, d_2)$

$c_1 = \text{mkcircle}(p_1, d_1)$

$p_2 = \text{intercc}(c_1, c_2)$

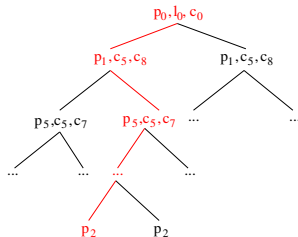
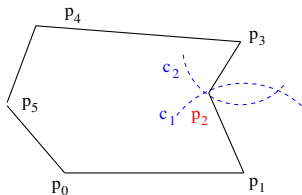
Méthode par Intersection des Lieux Géométriques (LIM)

- Obtention du plan de construction
- Évaluation du plan de construction
- Arbre d'interprétation
 - Nombre exponentiel de branches en le nb d'intersections.



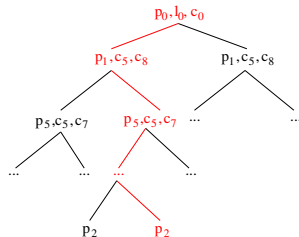
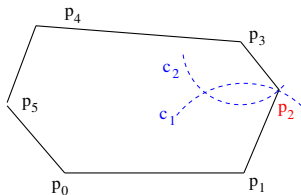
Méthode par Intersection des Lieux Géométriques (LIM)

- Obtention du plan de construction
- Évaluation du plan de construction
- Arbre d'interprétation
 - Nombre exponentiel de branches en le nb d'intersections.



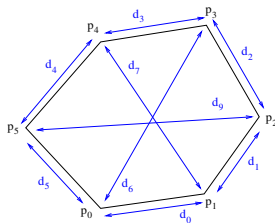
Méthode par Intersection des Lieux Géométriques (LIM)

- Obtention du plan de construction
- Évaluation du plan de construction
- Arbre d'interprétation
 - Nombre exponentiel de branches en le nb d'intersections.



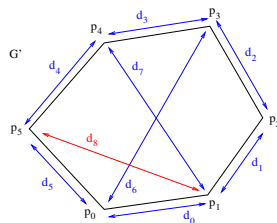
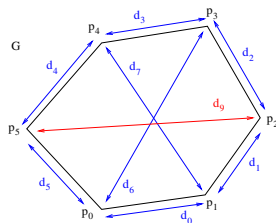
Méthode par Intersection des Lieux Géométriques (LIM)

- Obtention du plan de construction
- Évaluation du plan de construction
- Arbre d'interprétation
- **Échec** de la méthode : hexagone $K_{3,3}$



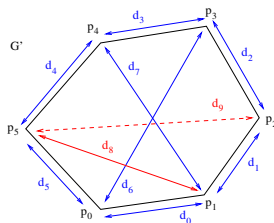
Reparamétrisation

- Remplacer d contraintes d'un SCG G pour obtenir un SCG G' soluble par LIM.



Reparamétrisation

- Remplacer d contraintes d'un SCG G pour obtenir un SCG G' soluble par LIM.
- Plan de construction $Cp(k)$ paramétré par les valeurs k des contraintes ajoutées.



Parameters :

$p_0, l_0, d_0, \dots, d_5, \dots, d_8$.

Unknowns :

$c_0, p_1, c_1, c_2, p_5, \dots$

Terms :

$c_0 = mkcircle(p_0, d_0)$

$p_1 = intercl(c_0, l_0)$

$c_1 = mkcircle(p_0, d_5)$

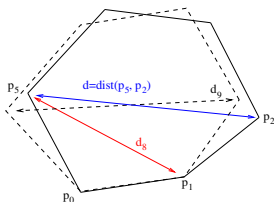
$c_2 = mkcircle(p_1, d_8)$

$p_5 = intercc(c_1, c_2)$

...

Reparamétrisation

- Remplacer d contraintes d'un SCG G pour obtenir un SCG G' soluble par LIM.
- Plan de construction $Cp(k)$ paramétré par les valeurs k des contraintes ajoutées.
- $F(k) = 0 \Leftrightarrow$ la figure produite par $Cp(k)$ satisfait les contraintes supprimées.



Parameters :

$p_0, l_0, d_0, \dots, d_5, \dots, d_8$.

Unknowns :

$c_0, p_1, c_1, c_2, p_5, \dots$

Terms :

$c_0 = \text{mkcircle}(p_0, d_0)$

$p_1 = \text{intercl}(c_0, l_0)$

$c_1 = \text{mkcircle}(p_0, d_5)$

$c_2 = \text{mkcircle}(p_1, d_8)$

$p_5 = \text{intercc}(c_1, c_2)$

...

$F(k_0) = \text{dist}(p_5, p_2) - d_9$

Nos Apports

- Remplacer d contraintes d'un SCG G pour obtenir un SCG G' soluble par LIM.
 - Stratégie de **décomposition** du problème.
- $F(k) = 0 \Leftrightarrow$ la figure produite par $Cp(k)$ satisfait les contraintes supprimées.
 - Échantillonnage de F sur toutes les branches de $Cp(k)$.
 - Utilisation d'une méthode par **continuation**.

Nos Apports

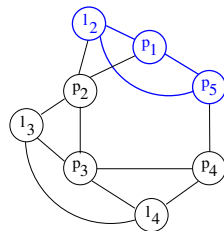
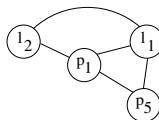
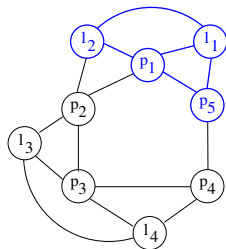
- Remplacer d contraintes d'un SCG G pour obtenir un SCG G' soluble par LIM.
 - Stratégie de décomposition du problème.
- $F(k) = 0 \Leftrightarrow$ la figure produite par $Cp(k)$ satisfait les contraintes supprimées.
 - Échantillonnage de F sur toutes les branches de $Cp(k)$.
 - Utilisation d'une méthode par continuation.

Décomposition

- SCG plus petits résolus indépendamment,
- moins de contraintes remplacées dans chaque SCG.

Principe : Soit G struct. bien contraint.

- Identifier $G_1 < G$ struct. bien contraint,
 - résoudre G_1 ,
 - calculer son bord dans G : $B_{G_1/G}$
- recommencer avec $G - G_1 + B_{G_1/G}$.



Reparamétrisation avec décomposition

- G_c graphe partiel induit par les sommets de G construits.
- pour $s \notin G_c$,
 - $DEGC(s)$ = nombre de sommets de G_c adjacents à s .
 - $D(s) = DEGC(s) - DOF(s)$ est la constriction de s .

Procédure : DecompEtReparam

Entrée : SCG G bien contraint.

1 : Choisir un repère.

2 : SI $\exists v \in G \setminus G_c \mid D(v) = 0$, ajouter s à G_c .

FIN SI

SI G_c est bien contraint

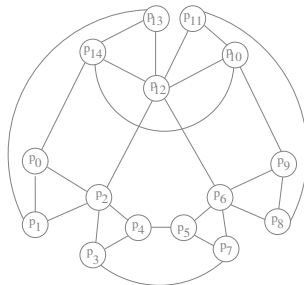
ET contient un sommet intérieur,

$$G' = G - G_c + B_{G_c/G}$$

DecompEtReparam(G').

SINON aller à 2.

FIN SI



Reparamétrisation avec décomposition

- G_c graphe partiel induit par les sommets de G construits.
- pour $s \notin G_c$,
 - $DEGC(s)$ = nombre de sommets de G_c adjacents à s .
 - $D(s) = DEGC(s) - DOF(s)$ est la constriction de s .

Procédure : DecompEtReparam

Entrée : SCG G bien contraint.

1 : Choisir un repère.

2 : SI $\exists v \in G \setminus G_c \mid D(v) = 0$, ajouter s à G_c .

FIN SI

SI G_c est bien contraint

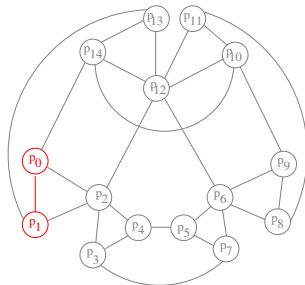
ET contient un sommet intérieur,

$$G' = G - G_c + B_{G_c/G}$$

DecompEtReparam(G').

SINON aller à 2.

FIN SI



Reparamétrisation avec décomposition

- G_c graphe partiel induit par les sommets de G construits.
- pour $s \notin G_c$,
 - $DEGC(s)$ = nombre de sommets de G_c adjacents à s .
 - $D(s) = DEGC(s) - DOF(s)$ est la constriction de s .

Procédure : DecompEtReparam

Entrée : SCG G bien contraint.

1 : Choisir un repère.

2 : SI $\exists v \in G \setminus G_c \mid D(v) = 0$, ajouter s à G_c .

FIN SI

SI G_c est bien contraint

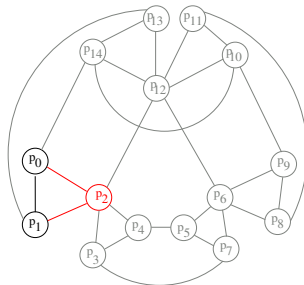
ET contient un sommet intérieur,

$$G' = G - G_c + B_{G_c/G}$$

DecompEtReparam(G').

SINON aller à 2.

FIN SI



Reparamétrisation avec décomposition

- G_c graphe partiel induit par les sommets de G construits.
- pour $s \notin G_c$,
 - $DEGC(s)$ = nombre de sommets de G_c adjacents à s .
 - $D(s) = DEGC(s) - DOF(s)$ est la constriction de s .

Procédure : DecompEtReparam

Entrée : SCG G bien contraint.

1 : Choisir un repère.

2 : SI $\exists v \in G \setminus G_c \mid D(v) = 0$, ajouter s à G_c .

FIN SI

SI G_c est bien contraint

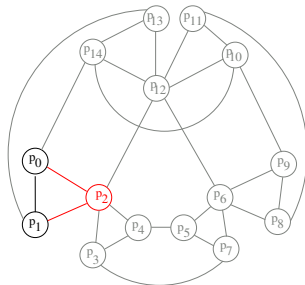
ET contient un sommet intérieur,

$$G' = G - G_c + B_{G_c/G}$$

DecompEtReparam(G').

SINON aller à 2.

FIN SI



Reparamétrisation avec décomposition

- G_c graphe partiel induit par les sommets de G construits.
- pour $s \notin G_c$,
 - $DEGC(s)$ = nombre de sommets de G_c adjacents à s .
 - $D(s) = DEGC(s) - DOF(s)$ est la constriction de s .

Procédure : DecompEtReparam

Entrée : SCG G bien contraint.

1 : Choisir un repère.

2 : SI $\exists v \in G \setminus G_c \mid D(v) = 0$, ajouter s à G_c .

SINON Choisir $v \in G \setminus G_c$ maximisant $D(s)$.

SI $D(s) < 0$, ajouter $D(s)$ contraintes
entre s et des sommets de G_c

Ajouter s à G_c

FIN SI

SI G_c est bien contraint

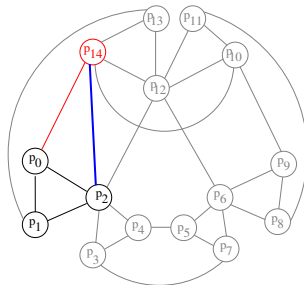
ET contient un sommet intérieur,

$$G' = G - G_c + B_{G_c/G}$$

DecompEtReparam(G').

SINON aller à 2.

FIN SI



Reparamétrisation avec décomposition

- G_c graphe partiel induit par les sommets de G construits.
- pour $s \notin G_c$,
 - $DEGC(s)$ = nombre de sommets de G_c adjacents à s .
 - $D(s) = DEGC(s) - DOF(s)$ est la constriction de s .

Procédure : DecompEtReparam

Entrée : SCG G bien contraint.

1 : Choisir un repère.

2 : SI $\exists v \in G \setminus G_c \mid D(v) = 0$, ajouter s à G_c .

SINON Choisir $v \in G \setminus G_c$ maximisant $D(s)$.

SI $D(s) < 0$, ajouter $D(s)$ contraintes
entre s et des sommets de G_c

Ajouter s à G_c

FIN SI

SI G_c est bien contraint

ET contient un sommet intérieur,

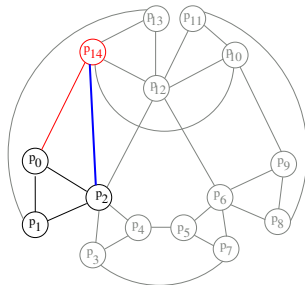
ET autant de contraintes ajoutées que supprimées,

$$G' = G - G_c + B_{G_c/G}$$

DecompEtReparam(G').

SINON aller à 2.

FIN SI



Reparamétrisation avec décomposition

- G_c graphe partiel induit par les sommets de G construits.
- pour $s \notin G_c$,
 - $DEGC(s)$ = nombre de sommets de G_c adjacents à s .
 - $D(s) = DEGC(s) - DOF(s)$ est la constriction de s .

Procédure : DecompEtReparam

Entrée : SCG G bien contraint.

1 : Choisir un repère.

2 : SI $\exists v \in G \setminus G_c \mid D(v) = 0$, ajouter s à G_c .

SINON Choisir $v \in G \setminus G_c$ maximisant $D(s)$.

SI $D(s) < 0$, ajouter $D(s)$ contraintes
entre s et des sommets de G_c

Ajouter s à G_c

FIN SI

SI G_c est bien contraint

ET contient un sommet intérieur,

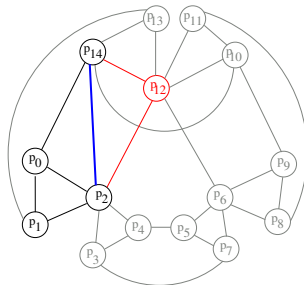
ET autant de contraintes ajoutées que supprimées,

$$G' = G - G_c + B_{G_c/G}$$

DecompEtReparam(G').

SINON aller à 2.

FIN SI



Reparamétrisation avec décomposition

- G_c graphe partiel induit par les sommets de G construits.
- pour $s \notin G_c$,
 - $DEGC(s)$ = nombre de sommets de G_c adjacents à s .
 - $D(s) = DEGC(s) - DOF(s)$ est la constriction de s .

Procédure : DecompEtReparam

Entrée : SCG G bien contraint.

1 : Choisir un repère.

2 : SI $\exists v \in G \setminus G_c \mid D(v) = 0$, ajouter s à G_c .

SINON Choisir $v \in G \setminus G_c$ maximisant $D(s)$.

SI $D(s) < 0$, ajouter $D(s)$ contraintes
entre s et des sommets de G_c

Ajouter s à G_c

FIN SI

SI G_c est bien contraint

ET contient un sommet intérieur,

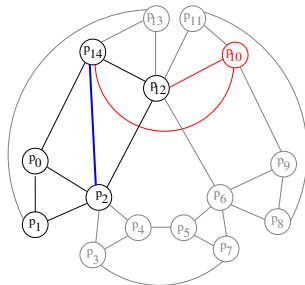
ET autant de contraintes ajoutées que supprimées,

$$G' = G - G_c + B_{G_c/G}$$

DecompEtReparam(G').

SINON aller à 2.

FIN SI



Reparamétrisation avec décomposition

- G_c graphe partiel induit par les sommets de G construits.
- pour $s \notin G_c$,
 - $DEGC(s)$ = nombre de sommets de G_c adjacents à s .
 - $D(s) = DEGC(s) - DOF(s)$ est la constriction de s .

Procédure : DecompEtReparam

Entrée : SCG G bien contraint.

1 : Choisir un repère.

2 : SI $\exists v \in G \setminus G_c \mid D(v) = 0$, ajouter s à G_c .

SINON Choisir $v \in G \setminus G_c$ maximisant $D(s)$.

SI $D(s) < 0$, ajouter $D(s)$ contraintes entre s et des sommets de G_c

Ajouter s à G_c

FIN SI

SI G_c est bien contraint

ET contient un sommet intérieur,

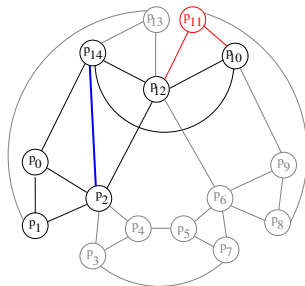
ET autant de contraintes ajoutées que supprimées,

$$G' = G - G_c + B_{G_c/G}$$

DecompEtReparam(G').

SINON aller à 2.

FIN SI



Reparamétrisation avec décomposition

- G_c graphe partiel induit par les sommets de G construits.
- pour $s \notin G_c$,
 - $DEGC(s)$ = nombre de sommets de G_c adjacents à s .
 - $D(s) = DEGC(s) - DOF(s)$ est la constriction de s .

Procédure : DecompEtReparam

Entrée : SCG G bien contraint.

1 : Choisir un repère.

2 : SI $\exists v \in G \setminus G_c \mid D(v) = 0$, ajouter s à G_c .

SINON Choisir $v \in G \setminus G_c$ maximisant $D(s)$.

SI $D(s) < 0$, ajouter $D(s)$ contraintes
entre s et des sommets de G_c

SI $D(s) > 0$, enlever $D(s)$ contraintes
entre s et des sommets de G_c

Ajouter s à G_c

FIN SI

SI G_c est bien contraint

ET contient un sommet intérieur,

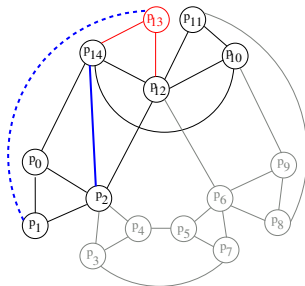
ET autant de contraintes ajoutées que supprimées,

$$G' = G - G_c + B_{G_c/G}$$

DecompEtReparam(G').

SINON aller à 2.

FIN SI



Reparamétrisation avec décomposition

- G_c graphe partiel induit par les sommets de G construits.
- pour $s \notin G_c$,
 - $DEGC(s)$ = nombre de sommets de G_c adjacents à s .
 - $D(s) = DEGC(s) - DOF(s)$ est la constriction de s .

Procédure : DecompEtReparam

Entrée : SCG G bien contraint.

1 : Choisir un repère.

2 : SI $\exists v \in G \setminus G_c \mid D(v) = 0$, ajouter s à G_c .

SINON Choisir $v \in G \setminus G_c$ maximisant $D(s)$.

SI $D(s) < 0$, ajouter $D(s)$ contraintes entre s et des sommets de G_c

SI $D(s) > 0$, enlever $D(s)$ contraintes entre s et des sommets de G_c

Ajouter s à G_c

FIN SI

SI G_c est bien contraint

ET contient un sommet intérieur,

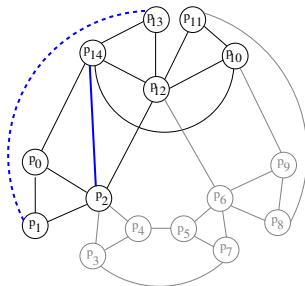
ET autant de contraintes ajoutées que supprimées,

$$G' = G - G_c + B_{G_c/G}$$

DecompEtReparam(G').

SINON aller à 2.

FIN SI



Reparamétrisation avec décomposition

- G_c graphe partiel induit par les sommets de G construits.
- pour $s \notin G_c$,
 - $DEGC(s)$ = nombre de sommets de G_c adjacents à s .
 - $D(s) = DEGC(s) - DOF(s)$ est la constriction de s .

Procédure : DecompEtReparam

Entrée : SCG G bien contraint.

1 : Choisir un repère.

2 : SI $\exists v \in G \setminus G_c \mid D(v) = 0$, ajouter s à G_c .

SINON Choisir $v \in G \setminus G_c$ maximisant $D(s)$.

SI $D(s) < 0$, ajouter $D(s)$ contraintes entre s et des sommets de G_c

SI $D(s) > 0$, enlever $D(s)$ contraintes entre s et des sommets de G_c

Ajouter s à G_c

FIN SI

SI G_c est bien contraint

ET contient un sommet intérieur,

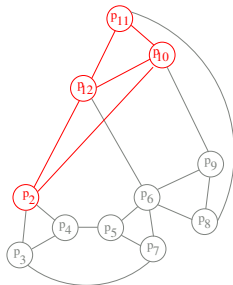
ET autant de contraintes ajoutées que supprimées,

$$G' = G - G_c + B_{G_c/G}$$

DecompEtReparam(G').

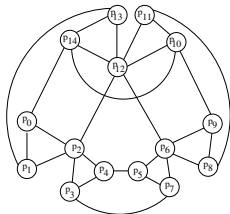
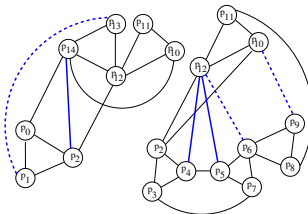
SINON aller à 2.

FIN SI

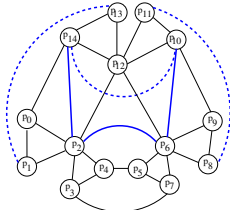
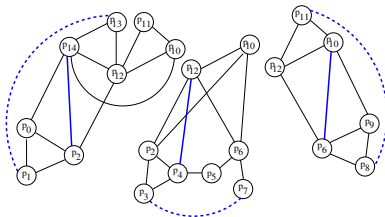


Résultats

SCG original :

Reparamétrisation & décomposition : $N=2$ 

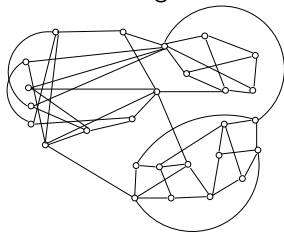
Reparamétrisation globale :

 $N=3$ Heuristique : $N=1$ 

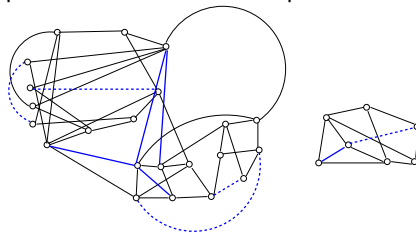
N : nombre maximum de contraintes rattrapées par sous-système

Résultats

SCG original :

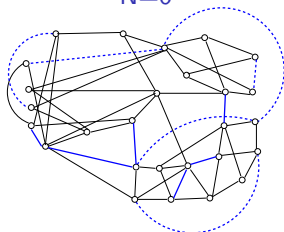


Reparamétrisation & décomposition : $N=4$

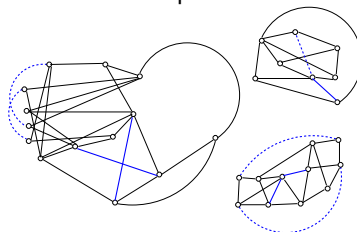


Reparamétrisation globale :

$N=6$



Heuristique : $N=2$



N : nombre maximum de contraintes rattrapées par sous-système

Résolution numérique

- Plan de construction P_c

Paramètres :

$h_0, h_1, \dots, h_i, h_{i+1}, \dots, h_{m-2}, h_{m-1}$

Inconnues :

$c_0, c_1, \dots, p_0, p_1, \dots, l_0, l_1, \dots$

Termes :

...

$c_1 = mkcircle(p_0, h_1)$

$c_2 = mkcircle(p_1, h_2)$

$p_2 = intercc(c_1, c_2)$

...

$l_i = mkline(p_{i0}, p_{i1}, h_i)$

$c_i = mkcircle(p_{i2}, k_i)$

$p_i = intercl(c_i, l_i)$

...

$f_0 = eval_dist(p_{j0}, p_{j1}) - h_j$

$f_1 = eval_angle(l_{j2}, l_{j3}) - h_{j+1}$

...

Résolution numérique

- Plan de construction $Pc(\textcolor{red}{k},)$
- Contraintes ajoutées : paramètres guides $k = (k_0, \dots, k_{d-1})$

Paramètres :

$h_0, h_1, \dots, h_i, h_{i+1}, \dots, h_{m-2}, h_{m-1}$

Inconnues :

$c_0, c_1, \dots, p_0, p_1, \dots, l_0, l_1, \dots$

Termes :

...

$c_1 = \textcolor{red}{mkcircle}(p_0, h_1)$

$c_2 = \textcolor{red}{mkcircle}(p_1, h_2)$

$p_2 = \textcolor{red}{intercc}(c_1, c_2)$

...

$l_i = \textcolor{red}{mkline}(p_{i0}, p_{i1}, h_i)$

$\textcolor{red}{c_i} = \textcolor{red}{mkcircle}(p_{i2}, k_i)$

$p_i = \textcolor{red}{intercl}(c_i, l_i)$

...

$f_0 = \textcolor{red}{eval_dist}(p_{j0}, p_{j1}) - h_j$

$f_1 = \textcolor{red}{eval_angle}(l_{j2}, l_{j3}) - h_{j+1}$

...

Résolution numérique

- Plan de construction $P_c(k, h)$
- Contraintes ajoutées : paramètres guides $k = (k_0, \dots, k_{d-1})$
- Autres contraintes : paramètres $h = (h_0, \dots, h_i, \dots)$

Paramètres :

$h_0, h_1, \dots, h_i, h_{i+1}, \dots, h_{m-2}, h_{m-1}$

Inconnues :

$c_0, c_1, \dots, p_0, p_1, \dots, l_0, l_1, \dots$

Termes :

...

$c_1 = \text{mkcircle}(p_0, h_1)$

$c_2 = \text{mkcircle}(p_1, h_2)$

$p_2 = \text{intercc}(c_1, c_2)$

...

$l_i = \text{mkline}(p_{i0}, p_{i1}, h_i)$

$c_i = \text{mkcircle}(p_{i2}, k_i)$

$p_i = \text{intercl}(c_i, l_i)$

...

$f_0 = \text{eval_dist}(p_{j0}, p_{j1}) - h_j$

$f_1 = \text{eval_angle}(l_{j2}, l_{j3}) - h_{j+1}$

...

Résolution numérique

- Plan de construction $Pc(k, h)$
- Contraintes ajoutées : paramètres guides $k = (k_0, \dots, k_{d-1})$
- Autres contraintes : paramètres $h = (h_0, \dots, h_i, \dots, h_j, \dots, h_{m-1})$
- Évaluation des contraintes supprimées :
 \Rightarrow construction de la multi-fonction F

Paramètres :

$h_0, h_1, \dots, h_i, h_{i+1}, \dots, h_{m-2}, h_{m-1}$

Inconnues :

$c_0, c_1, \dots, p_0, p_1, \dots, l_0, l_1, \dots$

Termes :

\dots

$c_1 = \text{mkcircle}(p_0, h_1)$

$c_2 = \text{mkcircle}(p_1, h_2)$

$p_2 = \text{intercc}(c_1, c_2)$

\dots

$l_i = \text{mkline}(p_{i0}, p_{i1}, h_i)$

$c_i = \text{mkcircle}(p_{i2}, k_i)$

$p_i = \text{intercl}(c_i, l_i)$

\dots

$f_0 = \text{eval_dist}(p_{j0}, p_{j1}) - h_j$

$f_1 = \text{eval_angle}(l_{j2}, l_{j3}) - h_{j+1}$

\dots

$F : \mathbb{R}^d \times \mathbb{R}^m \rightarrow \mathbb{R}^d$
 $(k, h) \mapsto$ choisir une branche de Pc ,
 évaluer $Pc(k, h)$,
 évaluer $(f_0, f_1, \dots, f_{d-1})$.

Résolution numérique

- Plan de construction P_C
- Contraintes ajoutées : paramètres guides $k = (k_0, \dots, k_{d-1})$
- Autres contraintes : paramètres $h = (h_0, \dots, h_i, \dots)$
- Évaluation des contraintes supprimées :
 \Rightarrow construction de la multi-fonction F
- F analytique

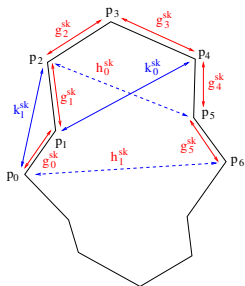
$$F : \mathbb{R}^d \times \mathbb{R}^m \rightarrow \mathbb{R}^d$$

$(k, h) \mapsto$ choisir une branche de P_C ,
 évaluer $P_C(k, h)$,
 évaluer $(f_0, f_1, \dots, f_{d-1})$.

Méthode par continuation des paramètres

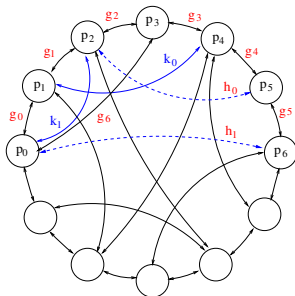
L'esquisse fournit une solution :

$$F(k^{sk}, h^{sk}) = 0$$



Solutions k cherchées :

$$F(k, h^*) = 0$$



Méthode par continuation des paramètres

L'esquisse fournit une solution :

$$F(k^{sk}, h^{sk}) = 0$$

Solutions k cherchées :

$$F(k, h^*) = 0$$

Fonction d'homotopie :

$$H : \mathbb{R}^d \times \mathbb{R} \rightarrow \mathbb{R}^d$$

$$H(k, t) = F(k, (1 - t)h^{sk} + th^*)$$

Méthode par continuation des paramètres

L'esquisse fournit une solution :

$$F(k^{sk}, h^{sk}) = 0$$

Solutions k cherchées :

$$F(k, h^*) = 0$$

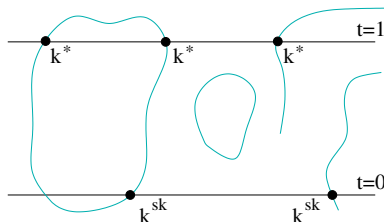
Fonction d'homotopie :

$$H : \mathbb{R}^d \times \mathbb{R} \rightarrow \mathbb{R}^d$$

$$H(k, t) = F(k, (1 - t)h^{sk} + th^*)$$

Chemins d'homotopie : solutions de $H(k, t) = 0$

- variétés de dimension 1 plongées dans $\mathbb{R}^d \times \mathbb{R}$
- difféomorphes à des segments ou des cercles
- solutions à l'infini
- sortie du domaine de définition



Méthode par continuation des paramètres

L'esquisse fournit une solution :

$$F(k^{sk}, h^{sk}) = 0$$

Solutions k cherchées :

$$F(k, h^*) = 0$$

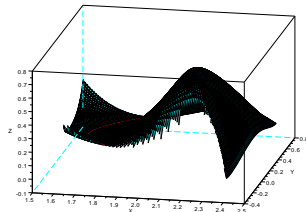
Fonction d'homotopie :

$$H : \mathbb{R}^d \times \mathbb{R} \rightarrow \mathbb{R}^d$$

$$H(k, t) = F(k, (1 - t)h^{sk} + th^*)$$

Chemins d'homotopie : solutions de $H(k, t) = 0$

- variétés de dimension 1 plongées dans $\mathbb{R}^d \times \mathbb{R}$
- difféomorphes à des segments ou des cercles
- solutions à l'infini
- sortie du domaine de définition



Suivi des chemins d'homotopie

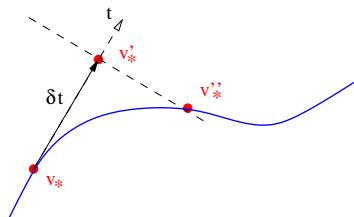
$$F : \mathbb{R}^{d+1} \rightarrow \mathbb{R}^d$$

$$c = \{v \in \mathbb{R}^{d+1} | F(v) = 0\}, v_* \in c$$

Comment suivre c depuis v_* ?

- Prédiction-correction
 - **Prédire** v'_* le long de la tangente t de c en v_* :

$$v'_* = v_* + \delta t, \delta \in \mathbb{R}.$$
 - **Corriger** v'_* pour obtenir $v''_* \in c$ grâce à Newton-Raphson en ajoutant une équation qui garanti la progression le long de c .



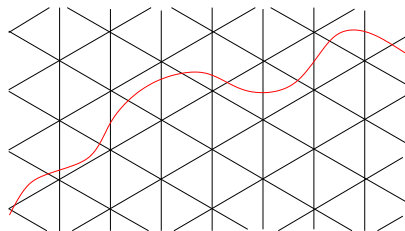
Suivi des chemins d'homotopie

$$F : \mathbb{R}^{d+1} \rightarrow \mathbb{R}^d$$

$$c = \{v \in \mathbb{R}^{d+1} \mid F(v) = 0\}, v_* \in c$$

Comment suivre c depuis v_* ?

- Prédiction-correction
- Approximation linéaire par morceaux (PLI).
 - \mathcal{M} : maillage de \mathbb{R}^{d+1} en simplexes de dimension $d + 1$.
 - \mathcal{F} : ensemble des faces (simplexes de dimension d) de \mathcal{M} .



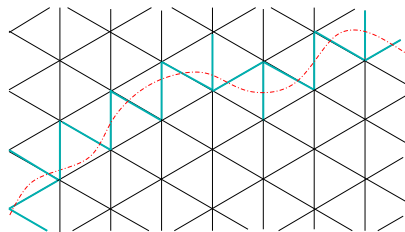
Suivi des chemins d'homotopie

$$F : \mathbb{R}^{d+1} \rightarrow \mathbb{R}^d$$

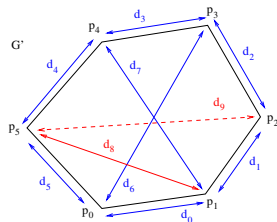
$$c = \{v \in \mathbb{R}^{d+1} | F(v) = 0\}, v_* \in c$$

Comment suivre c depuis v_* ?

- Prédiction-correction
- Approximation linéaire par morceaux (PLI).
 - \mathcal{M} : maillage de \mathbb{R}^{d+1} en simplexes de dimension $d + 1$.
 - \mathcal{F} : ensemble des faces (simplexes de dimension d) de \mathcal{M} .
 - $\mathcal{C} \subset \mathcal{F}$: faces dont au moins un point x satisfait $F(x) = 0$.



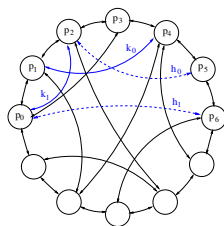
Résultats



	Sampling	Tracking
$K_{3,3}$ 6 primitives 9 constraints 1 added/removed	2 solutions, $\simeq 0.02\text{sec}$	2 solutions, $\simeq 0.4\text{sec}$
Dodecagone 12 primitives 21 constraints 2 added/removed	2 solutions, $\simeq 10\text{sec}$	2 solutions, $\simeq 1.5\text{sec}$
Icosahèdre 12 primitives 30 constraints 3 added/removed	1 solution, $\simeq 767\text{sec}$	2 solutions, $\simeq 17.4\text{sec}$

PC with processor at 2.2GHz

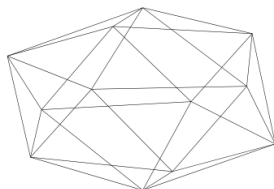
Résultats



	Sampling	Tracking
$K_{3,3}$ 6 primitives 9 constraints 1 added/removed	2 solutions, $\simeq 0.02\text{sec}$	2 solutions, $\simeq 0.4\text{sec}$
Dodecagone 12 primitives 21 constraints 2 added/removed	2 solutions, $\simeq 10\text{sec}$	2 solutions, $\simeq 1.5\text{sec}$
Icosahèdre 12 primitives 30 constraints 3 added/removed	1 solution, $\simeq 767\text{sec}$	2 solutions, $\simeq 17.4\text{sec}$

PC with processor at 2.2GHz

Résultats



	Sampling	Tracking
$K_{3,3}$ 6 primitives 9 constraints 1 added/removed	2 solutions, $\simeq 0.02sec$	2 solutions, $\simeq 0.4sec$
Dodecagone 12 primitives 21 constraints 2 added/removed	2 solutions, $\simeq 10sec$	2 solutions, $\simeq 1.5sec$
Icosahédre 12 primitives 30 constraints 3 added/removed	1 solution, $\simeq 767sec$	2 solutions, $\simeq 17.4sec$

PC with processor at 2.2GHz

Conclusion

Résumé : G non résoluble par LIM

- Phase symbolique : sous-systèmes reparamétrés.
- Phase numérique : chaque sous-système résolu par continuation.

Perspectives :

- Résolution du suivi des chemins d'homotopie.
- Trouver d'autres chemins que celui de l'esquisse.
- Adapter la reparamétrisation à d'autres décompositions.